Praktikum 1 : DGL

Oliver Steenbuck, Karolina Bernat

31.10.2012

Inhaltsverzeichnis

Abbildungsverzeichnis

Listings

1 Steife Differentialgleichungen

1.1 Gleichung

$$y(0) = 1 \tag{1}$$
$$y' = 10 - 500 \cdot y + 5000 \cdot x \tag{2}$$

1.2 Iterationslgeichungen

1.2.1 Euler, explizit

$$y(0) = 1 \tag{3}$$
$$y_{j+1} = y_j + h \cdot (10 - 500 \cdot y_j + 5000 \cdot x_j) \tag{4}$$

1.2.2 Euler, implizit

$$y(0) = 1 \tag{5}$$
$$y_{j+1} = y_j + h \cdot (10 - 500 \cdot y_{j+1} + 5000 \cdot x_{j+1}) \tag{6}$$

Wobei hier y_{j+1} mit dem Newton Verfahren Approximiert wird.

1.2.3 Runge Kutta 2. Ordnung

Es gelte $f(x) = 10 - 500 \cdot y + 5000 \cdot x$

$$y(0) = 1 \tag{7}$$

$$y_{j+1} = y_j + \frac{h}{2} \cdot (f(x_{j+1}, y_j) + f(x_{j+1}, h \cdot f(x_j, y_j))) \tag{8}$$

1.3 Matlab Programme

Listing 1: Stiff

```matlab
function [] = stiff(h)

    vec_ana_x = 0:h:0.2;
    vec_ana_y = mtp0101_ana(vec_ana_x);
    [vec_eulerexpl_x, vec_eulerexpl_y] = eulerE(@f, 0.2, h, [1]);
    [vec_eulerimpl_x, vec_eulerimpl_y] = euler_impl(1, h, 0.2, @f);
    [vec_runge_x, vec_runge_y] = rungeKutta(1, h, 0.2, @f);


    fh = figure('color','w');
    screen_size = get(0, 'ScreenSize');
    set(fh, 'Position', [0 0 screen_size(3) screen_size(4) ] );
    a = subplot(1,2,1);
    %set(gca,'fontName','Humor Sans111','fontSize',14,'lineWidth',3,'box','off')

    lw = 1;


    %annotation(fh,'textarrow',[0.38 0.34],[0.42 0.55],...
    %      'string',sprintf('analytische Loesung',char(10)),'headStyle','none','lineWidth',1.5,...
    %      'fontName','Comic Sans MS','fontSize',14,'verticalAlignment','middle','horizontalAlignment','left')


    hold on;
    plot(vec_ana_x, vec_ana_y, 'r','lineWidth',lw);
    plot(vec_eulerexpl_x, vec_eulerexpl_y, 'k','lineWidth',lw);
    plot(vec_eulerimpl_x, vec_eulerimpl_y, 'g','lineWidth',lw);
    plot(vec_runge_x, vec_runge_y, 'b','lineWidth',lw);
    grid off;
    title('Approximation');
    legend('analytische Loesung', 'Expl Euler', 'Impl Euler', 'Runge-Kutta');
    axis([0, 0.04, -1.5, 1.5]);

    %xkcdify(a)



    subplot(1,2,2)
    %
```

```
    hold on;
    plot(vec_eulerexpl_x, vec_eulerexpl_y.' - vec_ana_y, 'k');
    plot(vec_eulerimpl_x, vec_eulerimpl_y - vec_ana_y, 'g');
    plot(vec_runge_x, vec_runge_y - vec_ana_y, 'b');
    grid on;
    title('Error');
    legend( 'Expl Euler','Impl Euler', 'Runge-Kutta');
    axis([0,0.2, -2.5, 2.5]);

end
```

Listing 2: Steife Differentialgleichung

```
function [ z ] = f( x,y )
    z = 10-500*y+5000*x;
end
```

2 Van der Pol DGL

2.1 Gleichung

$$y(0) = 0 \tag{9}$$
$$\dot{y}(0) = 1 \tag{10}$$
$$\ddot{y} = 6 \cdot (1 - y^2) \cdot \dot{y} - y \tag{11}$$

2.2 Gleichung als DGL 1. Ordnung

$$\dot{z} = 6 \cdot (1 - y^2) \cdot z - y \tag{12}$$
$$\dot{y} = z \tag{13}$$

2.3 Euler Verfahren

$$z_{1_{n+1}} = z_{1_n} + h \cdot (6 \cdot (1 - z_{2_n}^2) \cdot z_{1_n} - z_{2_n}) \tag{14}$$
$$z_{2_{n+1}} = z_{2_n} + h * z_{1_n} \tag{15}$$

2.4 Runge Kutta 2. Ordnung

Es gelte

$$g(t,y) = z \tag{16}$$

$$f(y,z) = 6 \cdot (1-y^2) \cdot z - y \tag{17}$$

Dann können wir durch einsetzen von (16) und (17) in Runge Kutta 2. Ordnung die Iterationsgleichungen erstellen:

$$y_{j+1} = y_j + \frac{h}{2} \cdot [g(t_j, y_j) + g(t_{j+1}, y_i h \cdot g(t_j, y_j))] \tag{18}$$

$$z_{j+1} = z_j + \frac{h}{2} \cdot [f(y_j, z_j) + f(y_{j+1}, z_j + h \cdot f(y_j, z_j))] \tag{19}$$

2.5 Ergebnisse

Im folgenden sind die Approximation durch alle 3 Verfahren mit Schrittweiten von (0.001 bis 0.005) grapthisch dargestellt. Deutlich erkennbar wird hier wie die expliziten Verfahren (Expliziter Euler, Runge Kutta 2. Ordnung) gegenüber dem impliziten Euler Verfahren bei wachsender Schrittweite an Genauigkeit verlieren, wie dies auch zu erwarten war.

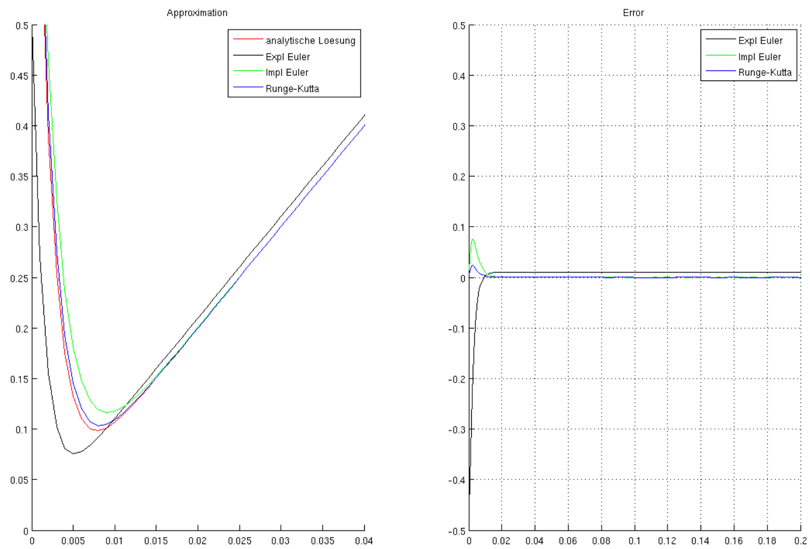

Abbildung 1: Stiff (h=0.001)

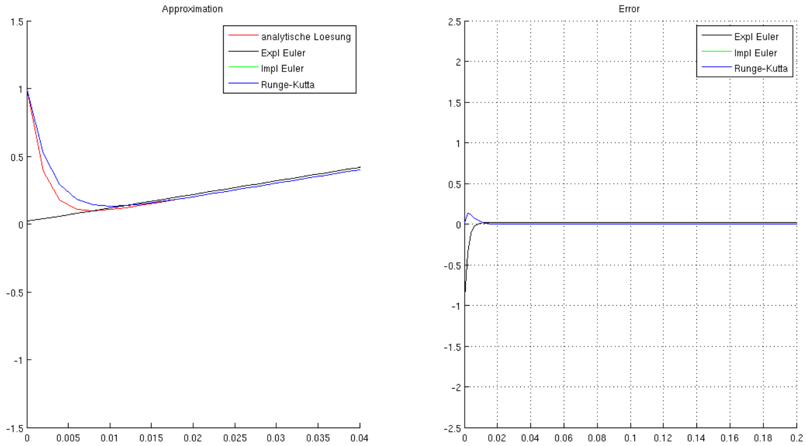

Abbildung 2: Stiff (h=0.002)

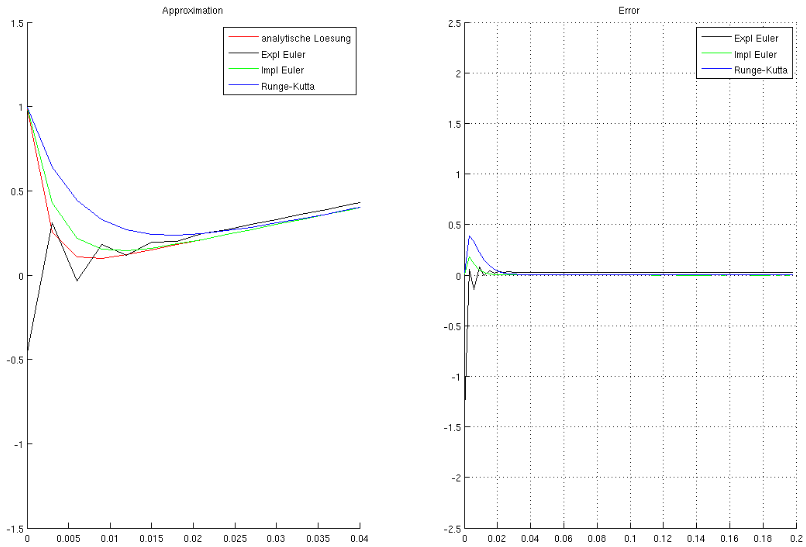

Abbildung 3: Stiff (h=0.003)

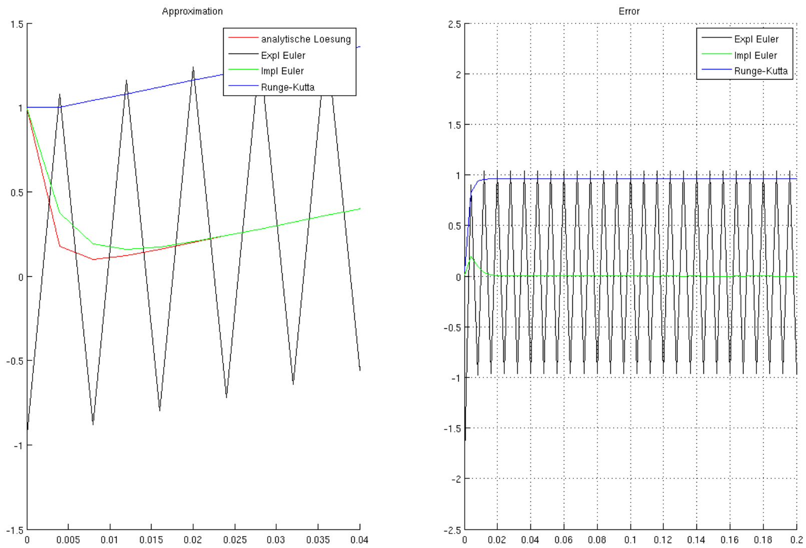

Abbildung 4: Stiff (h=0.004)

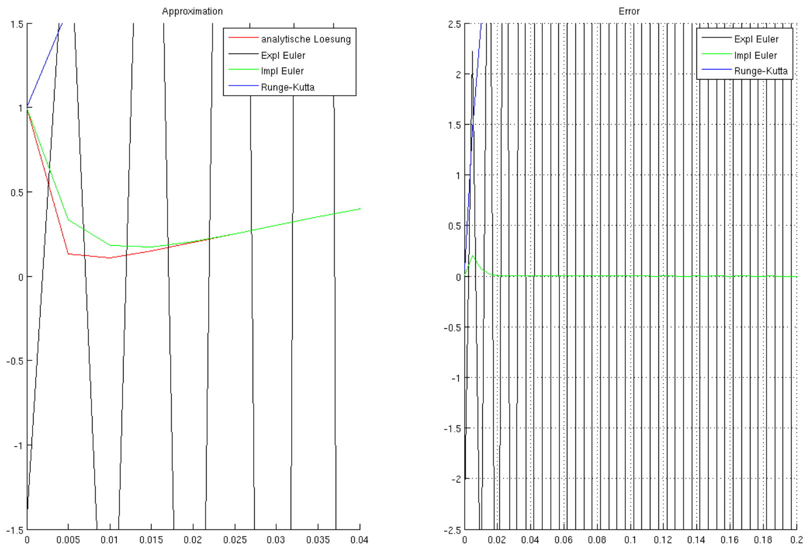

Abbildung 5: Stiff (h=0.005)

2.6 Ergebnisse

2.6.1 h=0.001

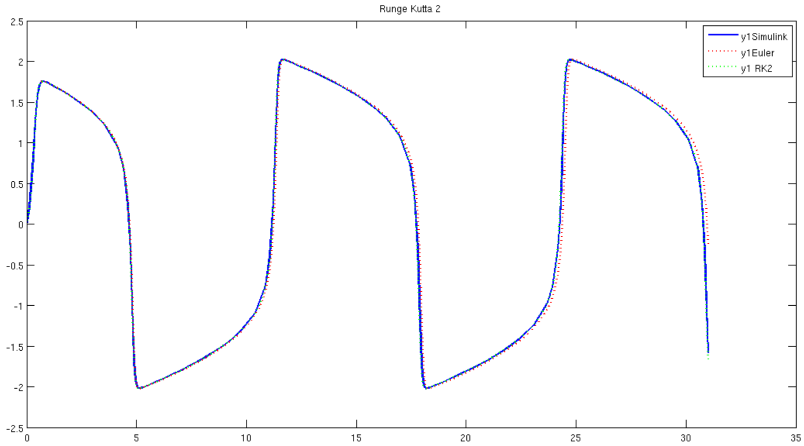

Abbildung 6: Van Der Pol DGL Y1 h=0.001

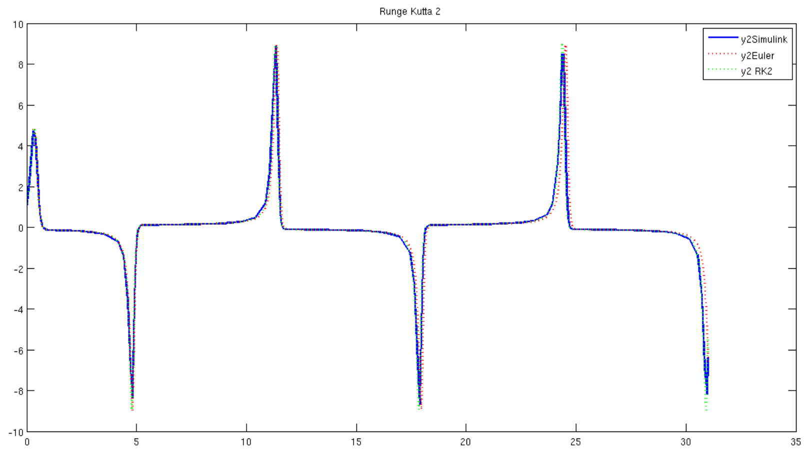

Abbildung 7: Van Der Pol DGL Y2 h=0.001

Bei einer Schrittweite h von 0.001 ist zu erkennen das beide Approximationsverfahren (Expliziter Euler und Runge Kutta 2. Ordnung) mit der aus Simulink extrahierten Approximation (Dormand-Prince, Variable Step Size) übereinstimmen.

2.6.2 h=0.02

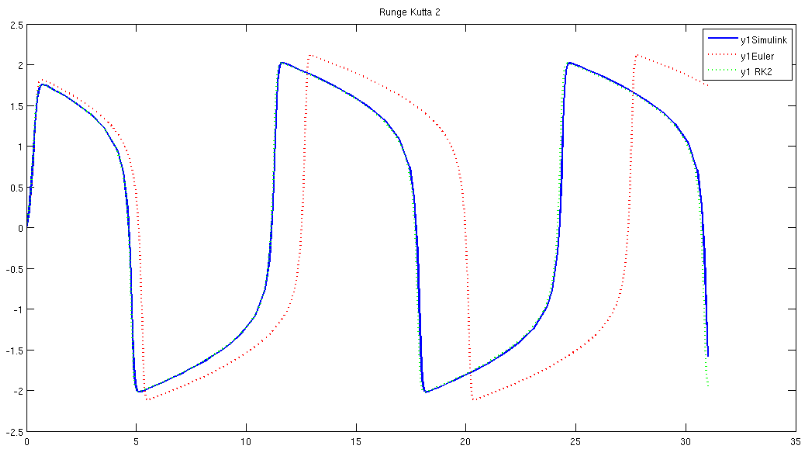

Abbildung 8: Van Der Pol DGL Y1 h=0.02

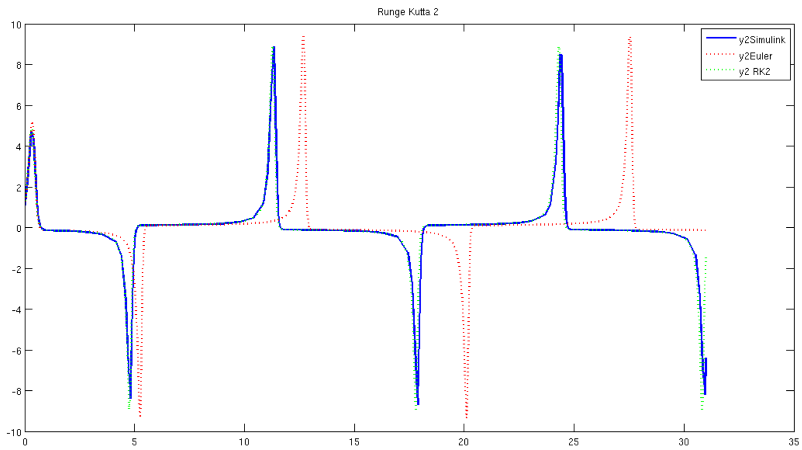

Abbildung 9: Van Der Pol DGL Y2 h=0.02

Bei einer Schrittweite h von 0.02 ist zu erkennen das das simplere Approximationsverfahren (Expliziter Euler) deutlich von der aus Simulink extrahierten Approximation (Dormand-Prince, Variable Step Size) abweicht während das komplexere Verfahren (Runge Kutta 2. Ordnung) auch hier noch sehr dicht an Simulink liegt.

2.7 Matlab Programme

Listing 3: VanDerPol GDL

```
function [ res ] = vdp( x, y )
% Van-Der-Pol-Gleichung zu Aufgabe 2

res = [y(2); 6 * ( 1 - y(1)^2 ) * y(2) - y(1)];

end
```

Listing 4: VanDerPol

```
function [  ] = vanDerPollZeigen( y1Sim, y2Sim, h )
    sum(Prak1Aufg2Simulink)
    [~, Y_E] = eulerE(@vdp, 31, h, [0;1]);
    [X, Y_RK] = rk2(@vdp, 31, h, [0;1]);


   %hold on;
    plot(121);
```

```
    p1=plot(y2Sim.time, y2Sim.signals.values ,'b-', X,Y_E(:,1),'r:', X,Y_RK(:,1), 'g:');
    set(p1,'LineWidth',2);
    title('Runge Kutta 2');
    legend('y1Simulink', 'y1Euler', 'y1 RK2');

    figure
    plot(122);
    p2=plot(y1Sim.time, y1Sim.signals.values ,'b-', X,Y_E(:,2),'r:', X,Y_RK(:,2), 'g:');
    set(p2,'LineWidth',2);
    title('Runge Kutta 2');
    legend('y2Simulink', 'y2Euler', 'y2 RK2');

end
```

3 Lorenz Attraktor

3.1 Gleichung

$$\dot{x} = -10 \cdot (x - y) \tag{20}$$
$$\dot{y} = (40 - z) \cdot x - y \tag{21}$$
$$\dot{z} = x \cdot y - 2.67 \cdot z \tag{22}$$
$$x(0) = 0.01 \tag{23}$$
$$y(0) = 0.01 \tag{24}$$
$$z(0) = 0.0 \tag{25}$$

3.2 RK2

Gegeben

$$f(t, x) = -10 \cdot (x - y) \tag{26}$$
$$g(t, y) = (40 - z) \cdot x - y \tag{27}$$
$$k(t, z) = x \cdot y - 2.67 \cdot z \tag{28}$$

So erhalten wir durch einsetzen in das Runge Kutta Verfahren 2. Ordnung folgende Iterationsgleichungen:

$$x_{j+1} = x_j + \frac{h}{2} \cdot (f(t_{j+1}, x_j) + f(t_{j+1}, h \cdot f(t_j, x_j))) \tag{29}$$
$$y_{j+1} = y_j + \frac{h}{2} \cdot (g(t_{j+1}, y_j) + g(t_{j+1}, h \cdot g(t_j, y_j))) \tag{30}$$
$$z_{j+1} = z_j + \frac{h}{2} \cdot (g(t_{j+1}, z_j) + g(t_{j+1}, h \cdot g(t_j, z_j))) \tag{31}$$

3.3 Ergebnisse

Mit $h = 0.002$, $t_{End} = 120$ und dem Parameter in der zweiten Gleichung auf 40 ergeben sich folgende Funktionsplots für $x(t), z(t)$

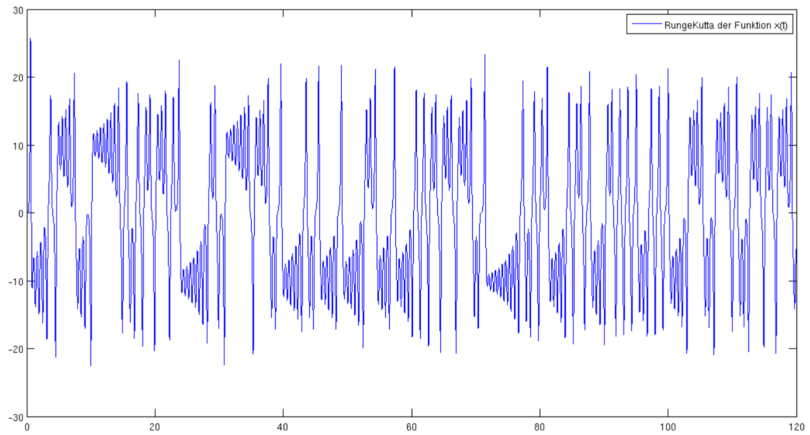

Abbildung 10: Lorenz Attraktor x(t)

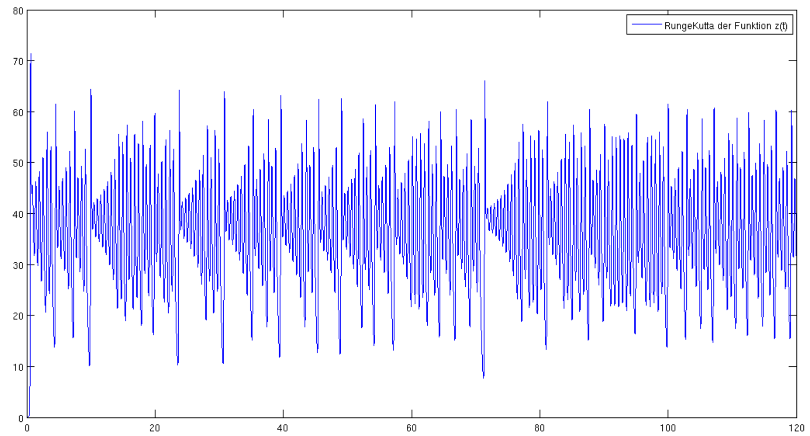

Abbildung 11: Lorenz Attraktor z(t)

Wenn der konstante Parameter der zweiten Funktion auf 40.000000001 geändert wird ergibt sich für $x(t)$ die folgende Veränderung.

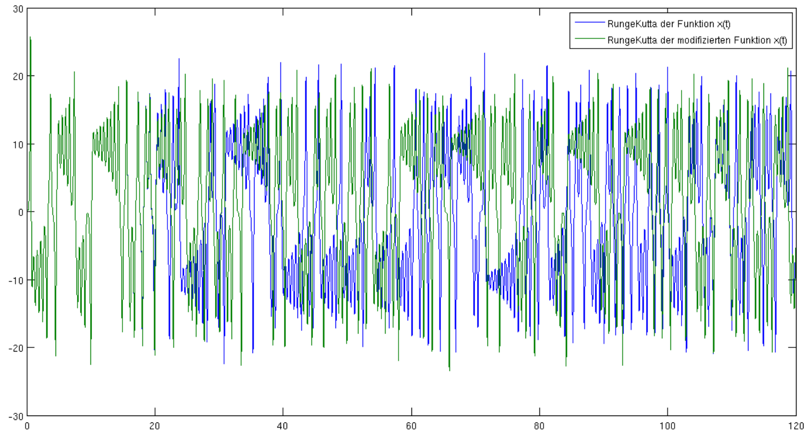

Abbildung 12: Lorenz Attraktor Diff 40, 40.000000001

Die Auswertung der durch Simulink erzeugten Daten ergibt folgendes 3D Muster:

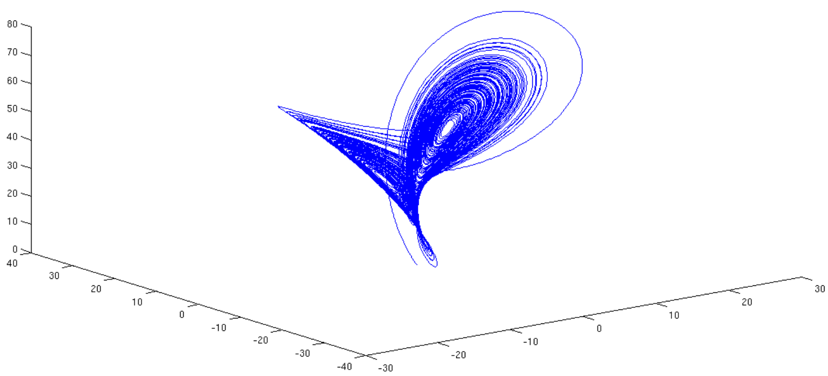

Abbildung 13: Lorenz Attraktor 3D Plot